

ДИФРАКЦИИ ВОЛНОВЫХ МОД НА СТЫКЕ ПЛАНАРНЫХ ВОЛНОВОДОВ

Кочанова М.А. Севастьянов Л.А.

Российский Университет Дружбы Народов, makochanova@gmail.com, sevast@sci.pfu.edu.ru

Рассматривается процесс дифракции волноводных мод на стыке двух полубесконечных планарных волноводов, регулярных слева и справа от границы раздела. На начальном этапе из рассмотрения исключаются излучательные моды.

Ключевые слова: математическое моделирование, численное моделирование, волноводы.

Введение

Физически волновод представляет собой канал, обеспечивающий распространение электромагнитной волны вдоль некоторой осевой линии с относительно малым затуханием и ограничивающий эту волну в области пространства вблизи оси.

Волноводы искусственного происхождения применяются для передачи энергии или информации (сигналов) различной природы, основываясь на эффекте полного внутреннего отражения.

В открытых планарных волноводах со смешанным (дискретным и непрерывным) спектром существуют направляемые моды, соответствующие точкам дискретного спектра, и излучательные (подложечные и покровные) моды, соответствующие точкам непрерывного спектра [1]. При дифракции волноводных мод на стыке планарного волновода возникают явления, аналогичные преломлению и отражению плоских объемных волн на границе раздела сред [2]

Постановка задачи

Рассмотрим волноведущую систему, представленную на рис. 1.

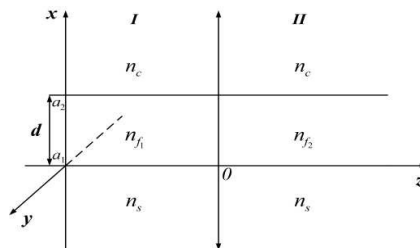


Рис.1. Схематическое изображение стыка двух полубесконечных регулярных вдоль оси Oz планарных волноводов.

Показатели преломления слоев n_s^j, n_{fd}^j, n^j ; $j=1, 2$ вещественны. Толщина d допускает существование N_1 ТЕ- и ТМ-поляризованных волноводных мод в I (левой) подобласти и N_2 ТЕ- и ТМ-поляризованных волноводных мод во II (правой) подобласти, задаваемых компонентами E_y и H_y соответственно: $E_{1, \dots, N_1}^I; H_{1, \dots, N_1}^I$ и $E_{1, \dots, N_2}^II; H_{1, \dots, N_2}^II$.

Слева на границу раздела набегают выделенная мода, например TE_2^I , описываемая стоячей вдоль оси Ox волной $AE_2^I(x)$. После дифракции на стыке волноводов влево

отразятся моды $R_j^{TE} E_j^I(x)$ и $R_j^{TM} H_j^I(x)$; $j = 1, \dots, N$. Во второй подобласти (в правой части волновода) будут распространяться моды $T_j^{TE} E_j^{II}(x)$ и $T_j^{TM} H_j^{II}(x)$; $j = 1, \dots, N$.

Здесь A - амплитуда падающей волны, R_j^{TE} , R_j^{TM} , T_j^{TE} , T_j^{TM} - амплитуды отраженных и прошедших волн соответственно.

Таким образом, поле в подобласти I – это совокупность полей падающих и отраженных мод. Поле в подобласти I будет иметь вид:

$$E_y^I = E_y^{inc}(x, z, t) + E_y^{ref}(x, z, t) \quad (1)$$

Слагаемое $E_y^{inc}(x, z)$ описывает падающие (набегающие на границу раздела подобластей) волны, слагаемое $E_y^{ref}(x, z)$ описывает волны, отраженные от границы раздела подобластей.

С учетом граничных условий на бесконечности поля в подобласти I (слева) примут вид:

$$E_y^I = A E_2^I(x) \exp\{i(\omega t - k_0 \beta^{TE} z)\} + \sum_{j=1}^{N_1} R_j E_j^I(x) \exp\{i(\omega t + k_j \beta_j^{TE} z)\}; \quad (2)$$

$$H_y^I = \sum_{j=1}^{N_1} R_j H_j^I(x) \exp\{i(\omega t + k_j \beta_j^{TM} z)\}.$$

Здесь β - коэффициент фазового замедления.

Поле в подобласти II будет представлять собой совокупность прошедших мод: $E_y^{II} = E_y^{trans}(x, z, t)$.

С учетом граничных условий на бесконечности поля в подобласти II (справа) примут вид:

$$E_y^{II} = \sum_{j=1}^{N_2} T_j E_j^I(x) \exp\{i(\omega t - k_j \beta_j^{TE} z)\}; \quad (3)$$

$$H_y^{II} = \sum_{j=1}^{N_2} T_j H_j^I(x) \exp\{i(\omega t - k_j \beta_j^{TM} z)\}.$$

На границе раздела подобластей I и II должно выполняться равенство тангенциальных компонент.

Для ТЕ-мод:

$$E_y^{inc}(x, z, t) + E_y^{ref}(x, z, t) = E_y^{trans}(x, z, t) \quad (4)$$

Для ТМ-мод:

$$H_y^{ref}(x, z, t) = H_y^{trans}(x, z, t) \quad (5)$$

На границе раздела подобластей тангенциальными компонентами также являются компоненты H_x для ТЕ-мод и E_x для ТМ-мод, которые выражаются через E_y и H_y с помощью уравнений Максвелла. Для этих компонент справедливы равенства, аналогичные (4) и (5).

На границе раздела подобластей $z=0$, на оси Ox тангенциальные компоненты электромагнитного поля E_y и H_x для ТЕ-мод и H_y и E_x для ТМ-мод совпадают. В силу того, что $z=0$, множители $\exp(\pm i k_0 \beta z) = 1$. Равенство тангенциальных компонент выполняется в любой момент времени, а значит и при $t = 0$, тогда множитель $\exp(i\omega t) = 1$.

Итоговая система уравнений, согласно граничным условиям, примет вид:

$$\begin{aligned}
 AE_2(x) + \sum_{j=1}^{N_1} R_j^{TEI} E_j(x) &= \sum_{j=1}^{N_2} T_j^{TEII} E_j(x); & A^{-} E_2(x) - \sum_{j=1}^{\mu} R_j E_j(x) &= - \sum_{j=1}^{\mu} T_j E_j(x); \\
 \sum_{j=1}^{N_1} R_j^{TM} H_j^I(x) &= \sum_{j=1}^{N_2} T_j^{TM} H_j^II(x); & \frac{\beta}{\varepsilon} \sum_{j=1}^{N_1} R_j^{TM} H_j^I(x) &= - \frac{\beta}{\varepsilon} \sum_{j=1}^{N_2} T_j^{TM} H_j^II(x).
 \end{aligned}
 \tag{6}$$

Наша задача – найти неопределенные амплитудные коэффициенты этой системы уравнений и таким образом определить вклад каждой отраженной или прошедшей моды

Решение задачи

Прделаем следующую процедуру. Спроектируем отрезки функциональных рядов на подпространства биортогонального базиса [2]. Более детально – умножим каждое уравнение системы на комплексно-сопряженные функции к функциям $E_j^I(x); E_j^{II}(x); H_j^I(x); H_j^{II}(x)$, а затем проинтегрируем полученные выражения по всей оси Ox . После чего воспользуемся условием ортогональности:

$$\int_{-\infty}^{\infty} \begin{pmatrix} E_j^I \\ H_j^I \end{pmatrix} \begin{pmatrix} E_j^{II} \\ H_j^{II} \end{pmatrix} (x) dx = \delta_{ij}^{ab}; \alpha, \beta = I, II \tag{7}$$

Умножив систему уравнений сначала на $E_j^{*I}(x)$ и $H_j^{*II}(x)$ (комплексно-сопряженные к функциям в левой части системы) и проинтегрировав по x , получим следующую систему (для удобства запищем ее в матричном виде):

$$\hat{A}_{4N \times 2N} \cdot \hat{R}_{2N \times 1} = \hat{B}_{4N \times 2N} \cdot \hat{T}_{2N \times 1} - \hat{C}_{2N \times 1} \tag{8}$$

где \hat{A} и \hat{B} – блочные матрицы с числовыми элементами, R и T - векторы неопределенных коэффициентов, C - вектор свободных членов.

Умножив систему на $E_j^{*II}(x)$ и $H_j^{*I}(x)$ (комплексно-сопряженные к функциям в левой части системы) и проинтегрировав по x , получим:

$$\hat{D}_{4N \times 2N} \cdot \hat{R}_{2N \times 1} = \hat{G}_{4N \times 2N} \cdot \hat{T}_{2N \times 1} - \hat{C}_{2N \times 1} \tag{9}$$

где \hat{D} и \hat{G} - блочные матрицы с числовыми элементами.

Итоговая система в матричном виде :

$$P_{4(N+N_1) \times 2N_1} \cdot R_{2N_1 \times 1} = Q_{4(N+N_1) \times 2N_1} \cdot T_{2N_1 \times 1} - C_{2N_1 \times 1} \tag{10}$$

где P и Q – блочные матрицы, составленные из \hat{A} и \hat{D} , \hat{B} и \hat{G} соответственно.

$$P = \begin{pmatrix} \int_{-\infty}^{\infty} E^I(x) E^{*I}(x) dx & \dots & \int_{-\infty}^{\infty} E^I(x) E^{*II}(x) dx & 0 & \dots & 0 \\ \dots & \dots & \dots & \dots & \dots & \dots \\ -\frac{\beta}{\mu} \int_{-\infty}^{\infty} E^I(x) E^{*II}(x) dx & \dots & -\frac{\beta}{\mu} \int_{-\infty}^{\infty} E^{II}(x) E^{*II}(x) dx & 0 & \dots & 0 \\ 0 & \dots & 0 & \int_{-\infty}^{\infty} H^I(x) H^{*I}(x) dx & \dots & \int_{-\infty}^{\infty} H^I(x) H^{*II}(x) dx \\ \dots & \dots & \dots & \dots & \dots & \dots \\ 0 & \dots & 0 & \frac{\beta}{\varepsilon} \int_{-\infty}^{\infty} H^{II}(x) H^{*II}(x) dx & \dots & \frac{\beta}{\varepsilon} \int_{-\infty}^{\infty} H^{II}(x) H^{*I}(x) dx \end{pmatrix}$$

$$Q = \begin{pmatrix} \int_{-\infty}^{\infty} E^l(x)E^{*l}(x)dx & \dots & \int_{-\infty}^{\infty} B^l(x)E^{*l}(x)dx & 0 & \dots & 0 \\ \dots & \dots & \dots & \dots & \dots & \dots \\ -\frac{\beta}{\mu} \int_{-\infty}^{\infty} E^l(x)E^{*k}(x)dx & \dots & -\frac{\beta}{\mu} \int_{-\infty}^{\infty} E^k(x)E^{*l}(x)dx & 0 & \dots & 0 \\ 0 & \dots & 0 & \int_{-\infty}^{\infty} H_1^l(x)H_1^{*l}(x)dx & \dots & \int_{-\infty}^{\infty} H_N^l(x)H_N^{*l}(x)dx \\ \dots & \dots & \dots & \dots & \dots & \dots \\ 0 & \dots & 0 & \frac{\beta}{\epsilon} \int_{-\infty}^{\infty} H^l(x)H^{*l}(x)dx & \dots & \frac{\beta}{\epsilon} \int_{-\infty}^{\infty} H^k(x)H^{*k}(x)dx \end{pmatrix}$$

Выводы

В данной работе получена система линейных алгебраических уравнений в виде (10), удобном для численного эксперимента, позволяющая определить вклад каждой направляемой моды в описание дифракции волноводных мод на стыке волноводов. В дальнейшем предполагается учесть излучательные моды, соответствующие непрерывному спектру, аналогично тому, как это сделано в работе [3].

Литература

1. *Ayrjan E.A., Egorov A.A., Michuk E.N., Sevastyanov A.L., Sevastianov L.A., Stavtsev A.V.* Representations of guided modes of integrated-optical multilayer thin-film waveguides // Preprint JINR E11-2011-31, Dubna, 2011, 52 P.
2. *R. F. Oulton, D. F. P. Pile, Y. Liu, and X. Zhang.* Scattering of surface plasmon polaritons at abrupt surface interfaces: Implications for nanoscale cavities // Phys. Rev. B **76**, 035408 (2007).
3. *S. F. Mahmoud, J. C. Beal.* Scattering of Surface Waves at a Dielectric Discontinuity on a Planar Waveguide // IEEE Trans. Microwave Theory Tech. **MTT-23**, 193 1975

WAVEGUIDE MODES DIFFRACTION AT A DIELECTRIC DISCONTINUITY ON A PLANAR WAVEGUIDE

Kochanova M.A., Sevastyanov L.A.

Peoples' Friendship University of Russia, makochanova@gmail, sevast@sci.pfu.edu.ru

This work deals with the problem of waveguide mode diffraction at a dielectric discontinuity of two half-infinite planar waveguides that are regular on each side of the waveguide system given. At the beginning radiation modes are excluded from the consideration.

Key words: mathematical modeling, numerical modeling, waveguides.